

# Échantillonnage dépendant de l'état pour les systèmes avec perturbations et retards

**Christophe Fiter**<sup>1</sup>, Laurentiu Hetel<sup>1</sup>, Wilfrid Perruquetti<sup>1,2</sup>,  
Jean-Pierre Richard<sup>1,2</sup>

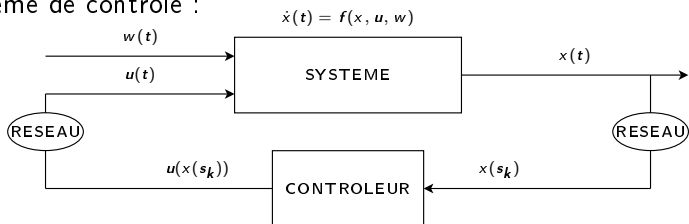
<sup>1</sup>Laboratoire d'Automatique, Génie Informatique et Signal, CNRS FRE 3303,  
École Centrale de Lille, France

<sup>2</sup>Non-A, INRIA Lille-Nord Europe, France

Modélisation des Systèmes Réactifs, 17 novembre 2011, Lille

## Introduction

Système de contrôle :



- ▶ De nos jours, systèmes embarqués et systèmes commandés en réseau sont omniprésents
- ▶ De l'information doit être échangée entre le système et le contrôleur
- ▶ La commande en boucle fermée a un coût (charge processeur, bande passante, ...)
- ▶  $\Rightarrow$  Nécessité de réduire ces coûts.

## Applications

- ▶ Systèmes temps-réel
  - Un seul microprocesseur pour plusieurs tâches
  - Charge de calcul limitée
  - Systèmes de contrôle : contraintes fortes sur l'ordonnancement temps-réel



- ▶ Systèmes distribués :
  - Réseau de communication partagé
  - Bande passante limitée
  - Communication à minimiser



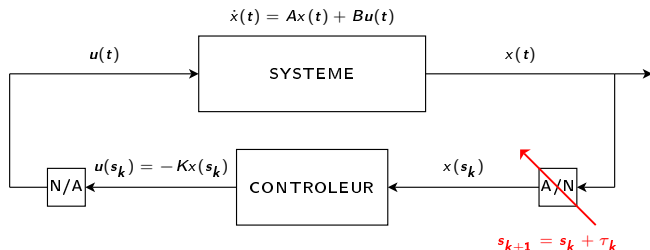
## Problème

Question : Comment alléger les charges processeur et/ou réseau tout en assurant la stabilité du système ?

## Approches de recherche

2 approches principales :

- ▶ Analyse robuste aux variations du pas d'échantillonnage

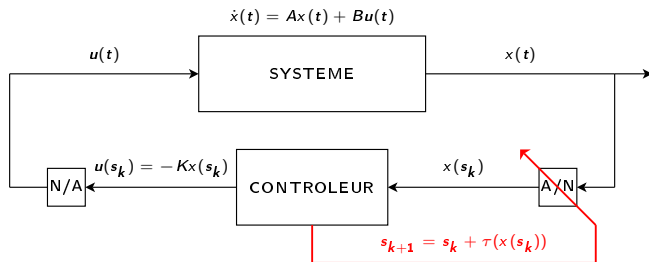


Pas d'échantillonnage  $\tau_k \in [0, \tau^*]$

## Approches de recherche

2 approches principales :

- ▶ Analyse robuste aux variations du pas d'échantillonnage
- ▶ **Contrôle dynamique de l'échantillonnage**

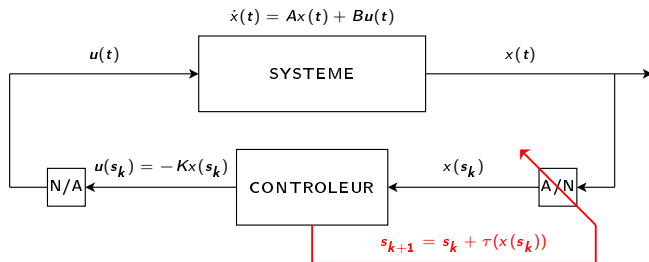


Fonction d'échantillonnage  $\tau : \mathbb{R}^n \rightarrow \mathbb{R}_+$

## Approches de recherche

2 approches principales :

- ▶ Analyse robuste aux variations du pas d'échantillonnage
- ▶ **Contrôle dynamique de l'échantillonnage**



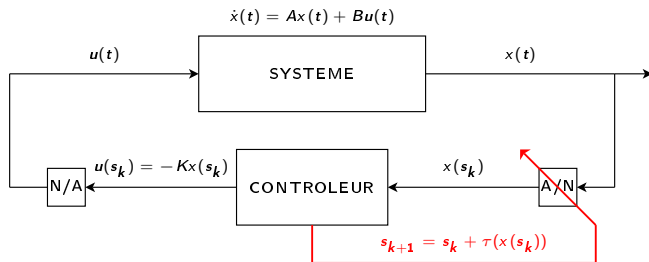
Fonction d'échantillonnage  $\tau : \mathbb{R}^n \rightarrow \mathbb{R}_+$

- **Event-Triggered Control**

## Approches de recherche

2 approches principales :

- ▶ Analyse robuste aux variations du pas d'échantillonnage
- ▶ **Contrôle dynamique de l'échantillonnage**



Fonction d'échantillonnage  $\tau : \mathbb{R}^n \rightarrow \mathbb{R}_+$

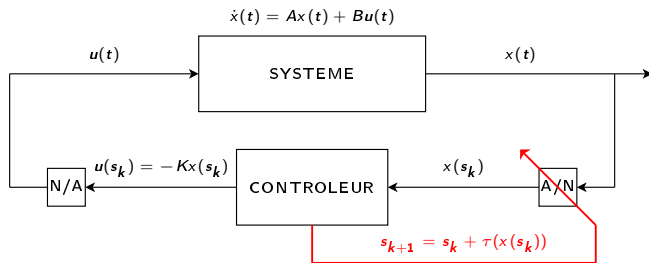
- Event-Triggered Control
- Self-Triggered Control



## Approches de recherche

2 approches principales :

- ▶ Analyse robuste aux variations du pas d'échantillonnage
- ▶ **Contrôle dynamique de l'échantillonnage**

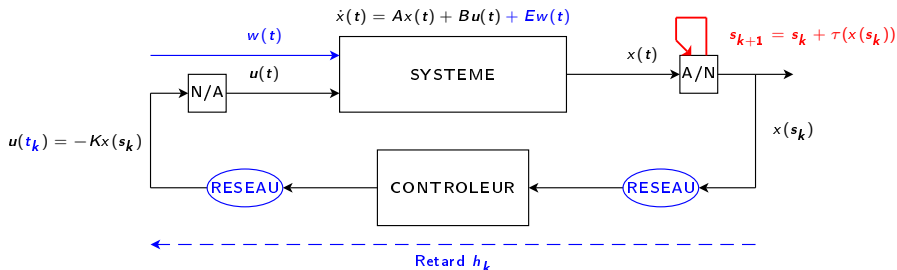


Fonction d'échantillonnage  $\tau : \mathbb{R}^n \rightarrow \mathbb{R}_+$

- Event-Triggered Control
- Self-Triggered Control
- State-dependent Sampling (Fiter et al., IFAC'11)

## Système étudié

Objectif : State-dependent sampling avec perturbations et retards



Fonction d'échantillonnage  $\tau : \mathbb{R}^n \rightarrow \mathbb{R}_+$

Perturbation inconnue  $w(t)$

Retard variable  $h_k = t_k - s_k$

## Système étudié

On considère le système

$$\begin{aligned} \dot{x}(t) &= Ax(t) + Bu(t) + Ew(t) \\ z(t) &= Cx(t) + Du(t) \end{aligned}, \quad (1)$$

avec une commande échantillonnée retardée

$$u(t) = -Kx(s_k), \quad \forall t \in [t_k, t_{k+1}), \quad (2)$$

Les instants d'échantillonnage  $s_k$  et d'actuation  $t_k$  sont liés par la relation

$$s_k = t_k - h(t_k), \quad (3)$$

avec un retard  $h(t)$  borné et à vitesse de variation bornée.

Les instants d'échantillonnage sont définis par la loi

$$s_{k+1} = s_k + \tau_{\max}(x(s_k)), \quad (4)$$

où  $\tau_{\max}$  est une fonction d'échantillonnage dépendant de l'état  $x(s_k)$ .

## Objectif

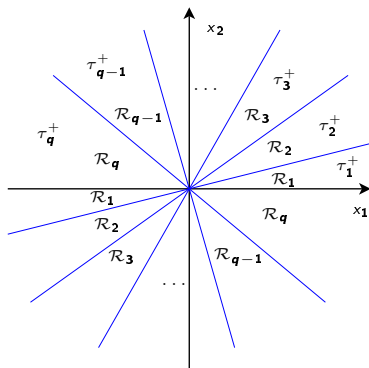
Objectif : construire hors-ligne la fonction d'échantillonnage

$\tau_{\max} : \mathbb{R}^n \rightarrow \mathbb{R}_+$  telle que :

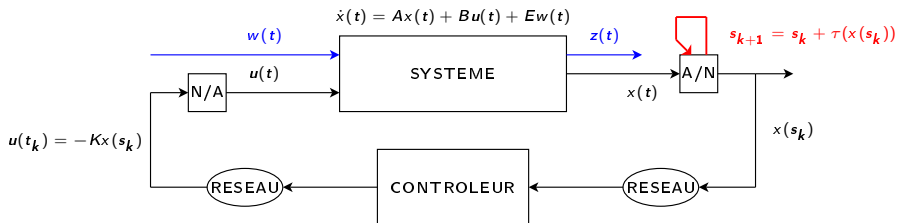
- ▶ la borne inférieure  $\tau^* = \inf_{x \in \mathbb{R}^n} \tau_{\max}(x)$  est maximale
- ▶ le pas d'échantillonnage maximal admissible  $\tau_{\max}(x)$  est maximal pour tout  $x \in \mathbb{R}^n$

## Division de l'espace d'état (Fiter et al., IFAC'11)

On divise l'espace d'état en un nombre fini de régions coniques  $\mathcal{R}_\sigma$ .



## Critère de stabilité $\mathcal{L}_2$



### Lemma

Le système est  $\mathcal{L}_2$ -stable de  $w$  à  $z$  s'il existe une fonction  $V \succ 0$  suffisamment régulière qui vérifie

$$\dot{V}(t) + z^T(t)z(t) - \gamma^2 w^T(t)w(t) \leq 0. \quad (5)$$

## Fonctionnelle de Lyapunov Krasovskii

On travaille la fonctionnelle de Lyapunov Krasovskii

$$V(t, x_t, \dot{x}_t, k) = x^T(t)Px(t) + V_1(t, x_t, \dot{x}_t) + V_2(t, x_t, \dot{x}_t, k), \quad (6)$$

avec un terme gérant le retard :

$$V_1(t, x_t, \dot{x}_t) = \int_{t-h(t)}^t \dot{x}^T(s)R\dot{x}(s)ds + \dots, \quad (7)$$

et un terme prenant en compte le pas d'échantillonnage :

$$V_2(t, x_t, \dot{x}_t, k) = (t_{k+1} - t) \int_{t_k}^t \dot{x}^T(s)U_{\sigma_k}\dot{x}(s)ds + \dots. \quad (8)$$

## Résultat principal

### Theorem

*La LKF  $V$  satisfait les conditions de stabilité  $\mathcal{L}_2$  si un nombre fini d'Inégalités Matricielles Linéaires (LMIs)  $\Xi_{i,\sigma}(\tau_\sigma^+) \preceq 0$  est satisfait pour toute région  $\mathcal{R}_\sigma$*



## Construction de la fonction d'échantillonnage $\tau_{\max}$

### Algorithme de construction (hors ligne) de la fonction $\tau_{\max}$

1. **Calculer** le pas d'échantillonnage indépendant de l'état maximal admissible  $\tau^+$  (line search algorithm sur  $\tau^+ + \text{LMIs}$ ).
2. **Construire la cartographie** du plus grand pas d'échantillonnage admissible  $\tau_\sigma^+ \geq \tau^+$ , pour chaque région  $\mathcal{R}_\sigma$  (line search algorithm sur chaque  $\tau_\sigma^+ + \text{LMIs}$ )

$$\tau_{\max}(x) = \operatorname{argmax}\{\tau_\sigma^+, x \in \mathcal{R}_\sigma\} \quad (9)$$

## Exemple 1

On considère le système :

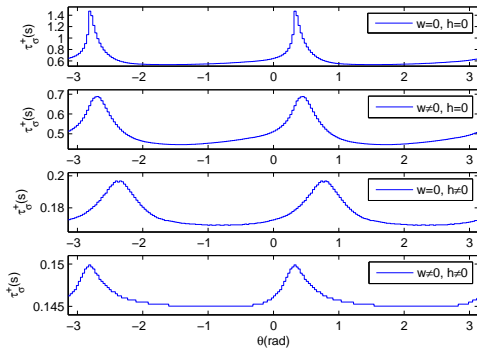
$$\dot{x}(t) = \begin{pmatrix} -3 & 0 \\ 0 & 1 \end{pmatrix} x(t) - \begin{pmatrix} 1 \\ 1 \end{pmatrix} Kx(s_k) + w(t), \text{ et} \\
 K = \begin{pmatrix} -1 & 4 \end{pmatrix}, z(t) = x(t), \text{ pour } t \in [t_k, t_{k+1}).$$

Le gain  $\mathcal{L}_2$  est fixé à  $\gamma = \sqrt{10}$  (le système est asymptotiquement stable si  $\|w(t)\| \leq 32\% \|x(t)\|$ ).

Le retard vérifie  $h(t) \in [10^{-4}, 10^{-1}]$  et  $\dot{h}(t) \in [-0.2, 0.6]$ .

## Exemple 1 - Fonctions d'échantillonnage dépendant de l'état

Cartographie du pas d'échantillonnage maximal admissible  $\tau_\sigma^+$  pour le système avec ou sans perturbations  $w$  et/ou retard  $h$ .

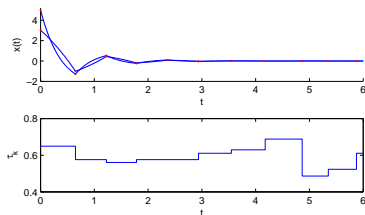
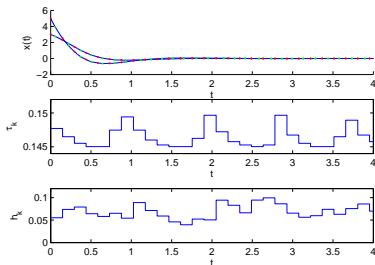


Borne inférieure :  $\tau^+ = 1)$  0.535 ; 2) 0.445 ; 3) 0.169 ; 4) 0.145.

## Exemple 1 - Simulations

### Simulation

- ▶ avec une perturbation vérifiant  $\|w(t)\|_2 = \frac{1}{\gamma}\|x(t)\|_2$
- ▶ avec retard variable (à gauche), ou sans retard (à droite)



## Exemple 2

On considère le système :

$$\dot{x}(t) = \begin{pmatrix} -0.5 & 0 \\ 0 & 3.5 \end{pmatrix} x(t) - \begin{pmatrix} 1 \\ 1 \end{pmatrix} Kx(s_k), \text{ et} \\ K = \begin{pmatrix} -1.02 & 5.62 \end{pmatrix}, z(t) = x(t), \text{ pour } t \in [s_k, s_{k+1}).$$

## Exemple 2

On compare :

- ▶ la borne inférieure  $\tau^+$  de la fonction d'échantillonnage obtenue : **0.309s**
- ▶ les bornes de stabilité robuste obtenues dans la littérature :
  - Fridman, Automatica 2010 : 0.259s
  - Fujioka, Automatica 2009 : 0.204s
  - Seuret, CDC 2009 : 0.198s

## Conclusion

Nous avons présenté :

- ▶ Une fonction d'échantillonnage  $\tau_{\max}(x)$  permettant de réduire le nombre d'échantillonnages pour les systèmes avec retards et perturbations.

Deux avantages majeurs :

- ▶ Maximisation du pas d'échantillonnage minimal  
 $\tau^+ = \inf_{x \in \mathbb{R}^n} \tau_{\max}(x)$ .
- ▶ Construction hors-ligne avec des LMIs obtenues grâce à une cartographie de l'espace d'état.

Travaux futurs et perspectives :

- ▶ Extension aux systèmes non linéaires,
- ▶ Extension à la commande basée observateur,
- ▶ ...